

槲皮素对 SMMC-7721 肝癌细胞 PI3K/AKT 信号通路影响的探讨

孙佳¹, 赵冬耕¹, 王明艳², 赵凤鸣², 许冬青², 叶丽红^{1*}

(1. 南京中医药大学第一临床医学院, 南京 210029; 2. 南京中医药大学基础医学院, 南京 210029)

[摘要] 目的: 观察槲皮素(quercetin)对人肝癌细胞 SMMC-7721 增殖与细胞凋亡的影响, 探讨其对 SMMC-7721 细胞 PI3K/AKT 信号通路的影响。方法: 采用 MTT 法检测槲皮素对 SMMC-7721 细胞生长的抑制, 流式细胞术检测细胞周期变化, Western blot 检测槲皮素对 SMMC-7721 细胞 PI3K/AKT 信号通路凋亡相关蛋白表达的影响。结果: 槲皮素抑制 SMMC-7721 肝癌细胞增殖作用明显, 且呈浓度和时间依赖性。顺铂和槲皮素 40, 80, 160, 320 $\mu\text{mol}\cdot\text{L}^{-1}$ 48 h 抑制率分别为 62.19%, 25.47%, 27.18%, 36.96%, 51.28%。流式细胞术结果显示, 槲皮素 80, 160, 320 $\mu\text{mol}\cdot\text{L}^{-1}$ 可使 SMMC-7721 肝癌细胞周期阻滞于 G_0/G_1 期。Western blot 凋亡相关蛋白表达检测表明, 药物组 AKT 的表达受抑制, PTEN, Caspase-9 蛋白的表达率随着药物浓度的增加而增加。结论: 槲皮素能诱导 SMMC-7721 肝癌细胞凋亡, 其机制可能是使肝癌细胞 SMMC-7721 周期阻滞于 G_0/G_1 期, PTEN 的过表达抑制 AKT 活化, 激活 Caspase-9 从而促进细胞凋亡。

[关键词] 槲皮素; SMMC-7721 肝癌细胞; PI3K-AKT 信号通路; 细胞凋亡

[中图分类号] R285.5 [文献标识码] A [文章编号] 1005-9903(2012)18-0223-04

[网络出版地址] <http://www.cnki.net/kcms/detail/11.3495.R.20120711.1203.016.html>

[网络出版时间] 2012-7-11 12:03

Influence of Quercetin on PI3K/AKT Signal Pathway of SMMC-7721 Hepatic Cancer Cells

SUN Jia¹, ZHAO Dong-geng¹, WANG Ming-yan², ZHAO Feng-ming², XU Dong-qing², YE Li-hong^{1*}

(1. First Clinical College, Nanjing University of Chinese Medicine, Nanjing 210029, China;

2. College of Basic Medicine, Nanjing University of Chinese Medicine, Nanjing 210029, China)

[Abstract] Objective: To investigate the influence of quercetin on the apoptosis of hepatic cancer cells SMMC-7721 and on PI3K/AKT signal pathways in SMMC-7721 cells. Method: Inhibitory effect of quercetin on SMMC-7721 cell growth was detected by MTT assay. Cell cycle changes were analyzed by flow cytometry (FCM). The Western blot test was employed for evaluating influence of quercetin on apoptosis related protein expression in PI3K/AKT signal pathways of SMMC-7721. Result: Quercetin inhibited cell proliferation of SMMC-7721 obviously, and in a concentration and time dependence manner. The inhibition rates of cisplatin and quercetin (40, 80, 160, 320 $\mu\text{mol}\cdot\text{L}^{-1}$, 48 h) were 62.19%, 25.47%, 27.18%, 36.96%, 51.28% respectively. FCM showed that 80, 160, 320 $\mu\text{mol}\cdot\text{L}^{-1}$ of quercetin could arrest SMMC-7721 cells in G_0/G_1 phase. Western blot showed that apoptosis related protein expression testing showed that the expression of AKT inhibited in the drug groups, and the protein expression of PTEN, caspase-9 increased with the drug concentration. Conclusion: Quercetin can induce apoptosis of SMMC-7721 cell, its mechanism could be related to hepatic cancer cells SMMC-7721 arrested in G_0/G_1 phase, the inhibition of AKT activation by PTEN gene over-expression, and the promotion of apoptosis by caspase-9 activation.

[收稿日期] 20120227(201)

[基金项目] 南京中医药大学基础研究与重点培育专项基金项目[10XJC03]

[第一作者] 孙佳, 05 级中医学七年制, 从事肿瘤内科疾病研究, E-mail:sunjia19870520@yahoo.com.cn

[通讯作者] *叶丽红, 博士, 副教授, 副主任医师, 从事中医内科常见病多发病尤其是恶性肿瘤的教学与临床工作, Tel:13805151622, E-mail:cocolihongye@126.com

[Key words] quercetin; hepatic carcinoma cell lines SMMC-7721; PI3K/AKT signal pathway; apoptosis

抗癌扶正方(Recipe of Antiliver Cancer, ALC)是根据周仲瑛教授在临床治疗肝癌的常用药物配伍,选用漏芦10 g,泽漆10 g,当归10 g等药物组成。前期动物模型研究表明,对HAC移植性肝癌小鼠模型具有良好的抗癌作用,可以加速肝癌细胞坏死^[1]。体外人肝癌细胞SMMC-7721实验显示,ALC能够抑制细胞活性,其可能的机制在于下调凋亡抑制基因Bcl-2,p⁵³的表达,促进细胞凋亡的产生^[2-3]。槲皮素(quercetin)是泽漆单体成分之一,在实验研究中,其对胃癌、肝癌、结肠癌、乳腺癌、卵巢癌、大肠癌等多种人肿瘤细胞均有抑制细胞增殖、促进细胞凋亡的作用。PI3K/AKT信号通路为细胞内信号传导途径,目前发现与乳腺癌、卵巢癌、非小细胞肺癌等多种肿瘤相关,该通路调节肿瘤细胞的增殖和存活,其活性异常与细胞恶性转化、迁移、黏附、肿瘤血管形成及肿瘤外基质的降解等相关,近年来备受瞩目^[4]。因此,对PI3K/AKT信号通路中关键基因、蛋白的深入研究显得很必要,有望将来应用于肿瘤的临床治疗中。槲皮素对肝癌细胞SMMC-7721在PI3K/AKT信号通路方面的作用机制探讨较少,本实验研究槲皮素对肝癌细胞SMMC-7721生长抑制率及对PI3K/AKT信号通路的影响。

1 材料与方法

1.1 细胞株及其培养 人肝癌细胞SMMC-7721购自中国科学院上海细胞研究所。将细胞接种于25 mL塑料培养瓶,用含10%小牛血清的DMEM培养基(FCS),37℃,5%CO₂条件下培养,隔天换培养液,待细胞单层铺满培养瓶后,用0.25%胰蛋白酶消化,1~2 min后,待镜下细胞圆缩,细胞间出现较多裂隙时,即加入10%小牛血清的DMEM培养液终止消化,并用尖吸管吹打成单个细胞悬液,按1:2加培养液分瓶,传代。

1.2 药物 槲皮素(quercetin):纯度98%,南京泽朗医药科技有限公司提供,批号ZL1106010。顺铂(Cisplatin,简称DDP),南京制药有限公司。

1.3 试剂 DMEM培养基(Hyclone公司),小牛血清(Gibco,USA),0.25%的胰蛋白酶(Merck,USA),Annexin V-FITC/PI检测试剂盒(南京凯基生物公司),噻唑蓝(MTT)、二甲基亚砜(DMSO)及所有抗体均为Cell Signaling Technology公司产品。

1.4 噻唑蓝还原法(MMT法)检测槲皮素对肝癌细

胞增殖的影响 在无菌条件下,取对数生长期的人肝癌细胞SMMC-7721,按细胞培养方法,将细胞调整为1×10⁴/mL,接种于96孔培养板,每孔加200 μL 10% FCS,置37℃,5%CO₂及饱和湿度的条件下培养过夜,待其贴壁后,吸弃上清液,每组设6个复孔,对照组、顺铂组、槲皮素各组加入不同浓度的药物,每孔各加20 μL,余用10%FCS补足至200 μL。使诸药物终质量浓度DDP为4 mg·L⁻¹,槲皮素为40,80,160,320 μmol·L⁻¹。加药后继续培养24 h,48 h后,每孔加入20 μL(5 g·L⁻¹)的MTT,继续培养4 h后,弃去上清,各孔加入150 μL的DMSO,轻轻振荡约10 min使其溶解,酶标仪于490 nm波长处测定吸光度(A),经计算得细胞生长抑制率(IR)。

$$IR = (A_{\text{正常组}} - A_{\text{药物组}})/A_{\text{正常组}} \times 100\%$$

1.5 流式细胞仪检测细胞周期 以80,160,320 μmol·L⁻¹的槲皮素处理SMMC-7721细胞48 h后,收集细胞制成单细胞悬液,0.01 mol·L⁻¹ PBS洗涤2次,70%冰乙醇固定过夜,PI染色,流式细胞仪检测,分析细胞周期,以正常组为对照组。

1.6 Western blot检测凋亡相关蛋白表达 将人肝癌细胞SMMC-7721按1×10⁴/瓶接种于25 mL培养瓶中,培养过夜待其贴壁后,分别加入4 mL DMEM培养液和1 mL各组药液;对照组加入5 mL的DMEM培养液,继续孵育培养48 h后,提取各组细胞的总蛋白,并用BCA法测定蛋白浓度,加热变性后-20℃保存。取各组细胞的总蛋白70 μg进行SDS-PAGE凝胶电泳,将分离后的蛋白质电转移到PVDF,封闭液封闭滤膜4 h,按0.1 mL·cm⁻²的量加入封闭液和适量一抗Caspase-9(1:500),P-AKT(ser473),PTEN(1:1 000),摇床摇荡孵育(4℃,过夜)。PBST漂洗滤膜4次,每次10 min。将膜与HRP结合的二抗(辣根过氧化酶标记羊抗兔,二抗用封闭液稀释)(1:5 000)室温下摇荡孵育2 h,用PBST充分洗膜,漂洗4次,每次10 min。按0.1 mL·cm⁻²显影液计算用量,将显影液加于硝酸纤维素膜(nitrocellulose,NC膜)上,室温放置1 min。用保鲜膜将膜包好,暗室中迅速将膜蛋白贴在X射线胶片上曝光,洗片机中显影、洗像。调整曝光时间,直至出现最佳条带。

1.7 统计学处理 采用SPASS 17.0统计分析软件,计量数据以 $\bar{x} \pm s$ 表示,P<0.05为差异有显著性。

2 结果

2.1 对 SMMC-7721 细胞的生长抑制作用 槲皮素

表 1 槲皮素对肝癌细胞 SMMC-7721 生长的抑制作用($\bar{x} \pm s, n=6$)

组别	终浓度 $/\mu\text{mol}\cdot\text{L}^{-1}$	24 h		48 h	
		A_{490}	IR/%	A_{490}	IR/%
对照	-	0.524 ± 0.054	-	1.332 ± 0.032	-
顺铂	4	$0.377 \pm 0.025^{1)}$	28.06	$0.508 \pm 0.022^{1)}$	62.19
槲皮素	40	$0.437 \pm 0.026^{1)}$	16.62	$0.956 \pm 0.052^{1,2)}$	25.47
	80	$0.427 \pm 0.046^{1)}$	18.62	$0.944 \pm 0.067^{1,2)}$	27.18
	160	$0.370 \pm 0.062^{1)}$	29.49	$0.815 \pm 0.052^{1,2)}$	36.96
	320	$0.425 \pm 0.018^{1,2)}$	18.88	$0.608 \pm 0.036^{1,2)}$	51.28

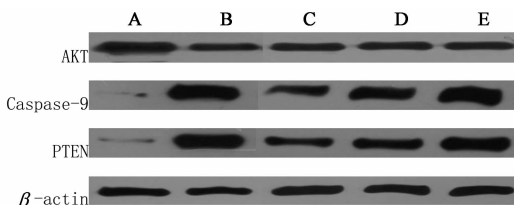
注:与对照组比较¹⁾ $P < 0.05$;与顺铂组比较²⁾ $P < 0.05$;顺铂的剂量单位为 $\text{mg}\cdot\text{L}^{-1}$ 。

2.2 对 SMMC-7721 细胞周期的影响 槲皮素作用细胞 48 h 后,与对照组相比,80,160,320 $\mu\text{mol}\cdot\text{L}^{-1}$ 槲皮素可使肝癌细胞 SMMC-7721 周期阻滞于 G_0/G_1 期。见表 2。

表 2 槲皮素对肝癌细胞 SMMC-7721 细胞周期的影响 %

组别	浓度/ $\mu\text{mol}\cdot\text{L}^{-1}$	G_0/G_1	S	G_2/M
对照	-	35.50	40.70	23.79
槲皮素	80	49.41	35.35	15.24
	160	44.26	41.64	14.64
	320	55.08	27.75	17.17

2.3 对凋亡相关蛋白表达的影响 槲皮素作用 48 h 后,经 Western blot 检测分析表明,药物组 AKT 的表达明显受到抑制,PTEN, Caspase-9 蛋白的表达率随着药物浓度的增加而增加。见图 1。



A. 对照组;B. 顺铂 $4 \text{ mg}\cdot\text{L}^{-1}$ 组;C. 槲皮素 $80 \mu\text{mol}\cdot\text{L}^{-1}$;
D. 槲皮素 $160 \mu\text{mol}\cdot\text{L}^{-1}$;E. 槲皮素 $320 \mu\text{mol}\cdot\text{L}^{-1}$

图 1 槲皮素对凋亡相关蛋白表达的影响

3 讨论

细胞凋亡是指为维持内环境稳定由基因控制的机体正常细胞在受到生理和病理性刺激后出现的一种自发的死亡过程。细胞凋亡过程的启动和进行受到精确调控,各种凋亡信号通过信号传导通路传至细胞内,激活靶分子而产生细胞效应,引发细胞凋亡。

PTEN-PI3K/AKT 信号转导通路参与细胞凋亡。PTEN 是一种新的抑癌基因,其最重要的底物是磷脂酰肌醇(3,4,5)-三磷酸(PIP3),PIP3 为磷脂酰肌

醇-3 激酶(PI3K)的产物并介导 AKT 的活化,PTEN 则使 PIP3 脱磷酸,以维持 PIP3 的低水平,从而下调 PI3K/AKT 通路^[5]。活化的 AKT 是细胞存活因子,能降低凋亡因子与增加抗凋亡蛋白的活性^[6]。PTEN 与 PI3K 协调作用,使细胞内 PIP3 的浓度处于适当水平,保持 AKT 适中的活性。PTEN 的丢失使细胞内 PIP3 积聚,PTEN-PI3K/AKT 信号转导通路失衡,AKT 持续活化,从而使细胞抗凋亡。PTEN 的过表达则可抑制 AKT 活化从而促进细胞凋亡,因此转染 PTEN 可诱导凋亡^[7]。

PI3K/AKT 信号通路是受多因素调节的,其负反馈主要由类脂磷酸酶 PTEN 和 SHIP2 调节,它们分别从 PIP3 的 3' 和 5' 去除磷酸而将其转变成 PI(4,5)P2 和 PI(3,4)P2 而降解,从而阻断 AKT 及下游效应分子的有效活化^[8]。因此,提高磷酸酶 PTEN 或 SHIP2 的活性能够消除 PI3K/AKT 信号通路的抗细胞凋亡作用^[9]。

Caspase 是一类半胱氨酸天冬氨酸特异蛋白酶,参与凋亡的启动和执行过程,在凋亡发生发展过程中起着关键性作用。Caspase-9 前体能与 Apaf-1 等蛋白结合而自我激活,从而启动胱天蛋白酶级联反应。若细胞中 Caspase-9 前体的 Ser196 位点突变,则促进其蛋白酶活性,产生促凋亡作用,则发生凋亡^[10]。

本研究应用不同浓度槲皮素作用于人肝癌 SMMC-7721 细胞,应用 MTT 法检测细胞增殖能力的结果表明,槲皮素对肝癌细胞 SMMC-7721 生长有明显的抑制作用,且细胞抑制率具有浓度和时间依赖性。流式细胞术分析细胞周期表明,槲皮素作用于 SMMC-7721 细胞 48 h 后, G_0/G_1 细胞比率增加,而 S 期细胞比率减少,说明细胞被阻滞于 G_0/G_1 期,即应用槲皮素后,阻止 SMMC-7721 细胞由 G_0/G_1 期向

二紫胶囊对生精障碍大鼠凋亡调控基因的影响

李晖*

(河南省中医院, 郑州 450002)

[摘要] 目的: 观察二紫胶囊对生精障碍大鼠凋亡调控基因的影响。方法: 将40只健康雄性大鼠分为模型组、对照组、二紫胶囊高、低剂量组, 以环磷酰胺注射液 $40\text{ mg}\cdot\text{kg}^{-1}$, ip制造大鼠生精障碍模型, 分别ig生理盐水、二紫胶囊浸膏($4.8, 2.4\text{ g}\cdot\text{kg}^{-1}$), 连续60d, 用TUNEL法检测大鼠睾丸生精细胞凋亡, 免疫组化法测定Bax和Bcl-2蛋白在大鼠睾丸组织中的表达。结果: 与模型组相比较, 二紫胶囊高、低剂量组生精细胞凋亡指数明显下调[($7.16 \pm 1.47\%$), ($13.83 \pm 2.40\%$) vs ($20.50 \pm 2.17\%$)], Bax蛋白表达明显下调[($16.01 \pm 2.02\%$), ($26.67 \pm 1.79\%$) vs ($9.94 \pm 1.14\%$)]($P < 0.01$), Bcl-2蛋白表达明显上调[($40.12 \pm 3.06\%$), ($22.87 \pm 2.94\%$) vs ($16.26 \pm 1.03\%$)]($P < 0.01$)。结论: 二紫胶囊能通过下调Bax和上调Bcl-2表达, 减少生精细胞凋亡的发生。

[关键词] 二紫胶囊; 生精障碍; 细胞凋亡

[中图分类号] R285.5 **[文献标识码]** A **[文章编号]** 1005-9903(2012)18-0226-03

Effect of Erzi Capsule on Apoptosis Genes in Rat with Spermatogenic Failure

LI Hui*

(Henan Provincial Hospital of Traditional Chinese Medicine, Zhengzhou 450002, China)

[收稿日期] 20120426(316)

[通讯作者] * 李晖, 主治医师, 硕士, 从事中生殖医学研究, Tel:0371-60979825, E-mail: Leehui.2005@yahoo.com.cn

S期和G₂/M期移行。关于其作用机制, 经槲皮素处理48 h后的肝癌SMMC-7721细胞, 抑癌基因PTEN的表达随着浓度的增高逐渐增多, 使PIP3的水平逐渐降低, 从而下调PI3K/AKT通路, 增强调亡因子与降低抗凋亡蛋白的活性, 促进了肝癌细胞的凋亡。随着药物浓度的增高, 引发了一系列级联反应, 激活了Caspase-9, 进一步促进了SMMC-7721细胞凋亡进程。

综上所述, 槲皮素通过PI3K/AKT信号通路的表达可能是诱导肝癌SMMC-7721细胞凋亡的机制之一。

[参考文献]

- [1] 叶丽红, 赵冬耕, 俞晶华, 等. 抗癌扶正方对HAC移植性肝癌的抑制作用及形态影响[J]. 中医药信息, 2010, 27(1): 52.
- [2] 叶丽红, 皮文霞, 程海波, 等. 抗癌扶正方对人肝癌细胞SMMC-7721的Bcl-2基因表达的调控作用[J]. 中药新药与临床药理, 2010, 21(4): 372.
- [3] 叶丽红, 皮文霞, 程海波, 等. 抗癌扶正方对人肝癌细胞SMMC-7721的p53基因表达的调控作用[J]. 辽宁

中医杂志, 2010, 37(11): 2215.

- [4] 孙晓杰, 黄常志. PI3K-Akt信号通路与肿瘤[J]. 世界华人消化杂志, 2006, 14(3): 306.
- [5] Maehama T, Dixon J E. The tumor suppressor, PTEN/MMAC1, dephosphorylates the lipid second messenger, phosphatidylinositol 3, 4, 5-trisphosphate [J]. J Biol Chem, 1998, 273(22): 13375.
- [6] Mayo L D, Donner D B. The PTEN, Mdm2, p53 tumor suppressor oncogene network[J]. Trends Biochem Sci, 2002, 27(9): 462.
- [7] 陈培, 张钦宪. PTEN-PI3K/AKT细胞信号转导通路与肿瘤[J]. 癌变·畸变·突变, 2010, 22(6): 484.
- [8] Sharrard R M, Norman J M. Regulation of protein kinase B activity by PTEN and SHIP2 in human prostate-derived cell lines[J]. Cell Signal, 2007, 19(1): 129.
- [9] 黄秀兰, 崔国辉, 周克元. PI3K-Akt信号通路与肿瘤细胞凋亡关系的研究进展[J]. 癌症, 2008, 27(3): 331.
- [10] 吴日平, 黄昌明. PI3K-Akt信号通路与肿瘤关系的研究进展[J]. 医学综述, 2009, 15(10): 1501.

[责任编辑 何伟]